

Рис. 5.

(рис. 5), которая выбирает числа из различных нормальных распределений. С помощью этой вспомогательной программы образуются два пика. От отношения интенсивности зависит то, сколько раз нужно подряд выбрать числа из каждого распределения. Данная программа может быть расширена на любое число пиков.

#### ЛИТЕРАТУРА

1. Л. А. Маталли, С. И. Чубаров, А. А. Иванов. Многоканальные анализаторы ядерной физики. М., Атомиздат, 1967.
2. Я. Бири, Г. Резников, К. Тарнаи. Оценка с помощью ЭВМ спектральных искажений. Препринт 13-4720, Дубна, 1969.
3. B. Soucek. Losses in systems with variable dead time.— Nuclear Instruments and Methods, 1964, 27.

Поступила в редакцию 18 ноября 1971 г.

УДК 517.948.32

Р. Д. БАГЛАЙ  
(Новосибирск)

### ВЫБОР ПАРАМЕТРА РЕГУЛЯРИЗАЦИИ

Методы выбора параметра регуляризации рассматривались в [1—3]. Исходя из этих работ, мы пришли к иному, более обоснованному и вполне конструктивному способу, в котором используются свойства функции чувствительности регуляризованного решения к относительному изменению параметра регуляризации. Вначале остановимся на одной из тех физических задач, при решении которой применялся этот способ, а также напомним основные пункты общей схемы регуляризации по А. Н. Тихонову [4].

Рассмотрим одномерный преобразователь (фильтр), математическая модель которого представима в виде интегрального уравнения типа свертки

ной программе. Если же мертвое время переменное, то оно определяется из зависимости

$$TН1 := A1 * u + B,$$

где  $A1$  — мертвое время на один канал;  $B$  — постоянная составляющая переменного мертвого времени. Оценка полученной информации производится методом, подобным методу с основной программой.

Амплитудный спектр, изображенный на рис. 2, состоит из нескольких пиков. В наших программах мы рассматривали образование только одного пика. Если образовать несколько следующих по времени друг за другом пиков, то можно исказить амплитудный спектр. Поэтому перед вводом случайного числа с нормальным распределением была включена еще одна вспомогательная программа

$$L\varphi = F, \quad (1)$$

где  $L$  — интегральный оператор с ядром  $K$ ;  $\varphi$  — входной сигнал;  $F$  — приближенное значение выходного сигнала, равного  $f$ . Пусть ставится задача восстановления входного сигнала  $\varphi$  по известным  $F$  и  $K$ . Положим, что математически эта задача определена, т. е. решение уравнения (1) существует и единственно. Примем также, что преобразователь физически реализуем. Для электронного фильтра с сосредоточенными параметрами это означает, что он устойчив в малом, а Фурье-образ ядра  $K(\omega)$  — дробно-рациональная функция с нулем на бесконечности:  $K(\omega \rightarrow \infty) \rightarrow 0$  как  $A/\omega^n$ , где  $n$  — целое положительное число;  $A = \text{const}$ . Из последнего условия следует, что мы не допускаем  $\delta$ -импульсов в ядре. В теории электрических цепей, например при изучении «идеальных» дифференцирующих преобразователей, допускают  $\delta$ -импульс в нуле функции  $K$ . В этом случае фильтр описывается интегральным уравнением второго рода и задача восстановления упрощается, но такое допущение не физично.

В практических задачах функции  $F$  и  $K$  задаются в виде эмпирических числовых массивов, поэтому наряду с интегральным будем рассматривать также матричный оператор  $L$ . Из-за эмпирического характера исходных данных система (1) может оказаться несовместной. Способ проверки на совместность известен и вытекает из следующего утверждения: необходимым и достаточным условием совместности системы (1) является ортогональность вектора  $F$  ко всем решениям однородной сопряженной системы  $L^*\varphi = 0$ . Здесь  $L^*$  — оператор, сопряженный с  $L$ , и для матричных операторов обозначает транспонированную матрицу  $L^T$ . Это условие является матричным аналогом альтернативы Фредгольма для интегральных уравнений. Для борьбы с несовместностью используют метод наименьших квадратов. Практически дело сводится к решению уравнения

$$L^* L\varphi = L^* F, \quad (2)$$

которое получается при минимизации функционала  $\|L\varphi - F\|_{L_2}^2$ . (Норма в  $L_2$  здесь и далее рассматривается на интервале  $(a, b)$ ). Если система (1) совместна, то из (2) получим точное ее решение.

Перейдем к обсуждению некорректности нашей задачи. При вычислениях исходные данные  $(F, K)$  всегда помещаются в конечномерное пространство. К тому же полагаем, что задача математически определена. Следовательно, обратный оператор  $L^{-1}$  ограничен и ограничено влияние шума  $\eta$  на решение. В этом смысле задача теоретически корректна. Однако решение, построенное в присутствии шума, может сильно искажаться, «разваливаться». Это хорошо известное явление, которое возникает при решении обширных косоугольных систем алгебраических уравнений. Способов борьбы с ним много. Новым и эффективным является способ регуляризации решения, основанный на общей схеме А. Н. Тихонова. Согласно этой схеме, поиск приближенного решения  $\varphi_\alpha$  уравнения (1) ведется посредством минимизации функционала

$$J_{\varphi_\alpha} = \|L\varphi_\alpha - F\|_{L_2}^2 + \alpha (q \|\varphi_\alpha\|_{L_2}^2 + q_1 \|\varphi'_\alpha\|_{L_2}^2); \quad q > 0, \quad q_1 > 0. \quad (3)$$

Здесь  $\alpha$  — действительное и положительное число, которое называют параметром регуляризации. Несколько слов о конструкции выражения (3). Первое слагаемое отражает хорошо известное требование минимума невязки сигналов  $F$  и  $L\varphi$  на выходе фильтра. Но из-за сглаживающего действия фильтра (оператора  $L$ ) минимум невязки в пределах заданной точности может достигаться при весьма различных сигналах  $\varphi$ , которые

сильно различаются высокочастотной частью спектра. Уменьшить неопределенность можно, если среди всех этих сигналов выбрать тот, который сам минимален по энергии, т. е. потребовать еще и минимизации интеграла от квадрата искомого сигнала. Дальнейшее усиление получим, если сверх того потребуем минимизации интеграла от квадрата производной искомого функции и т. д. Этой цели служит второе слагаемое в выражении (3). Его вес в общем функционале определяется величиной параметра регуляризации  $\alpha$ .

Чтобы отыскать ту функцию  $\varphi_\alpha$ , которая доставляет минимум выражению (3) при фиксированном  $\alpha$ , необходимо решить вариационную задачу. Сделать это можно, например, путем решения уравнения Эйлера:

$$(\alpha D_2 + L^* L) \varphi_\alpha = L^* F \quad (4)$$

при граничных условиях  $\varphi'_\alpha(a) = \varphi'_\alpha(b) = 0$ . Здесь  $D_2 = q - \frac{d^2}{dt^2}$ ;  $q_1$  принято равным 1.

Краевую задачу (4) можно свести к равносильному интегральному уравнению Фредгольма второго рода. Но для практического применения метода делать это незначит. Достаточно решить интегро-дифференциальное уравнение (4). В матричной форме оно принимает вид

$$(\alpha H + L^T L) \varphi_\alpha = L^T F, \quad (5)$$

где  $H$  — ленточная матрица, а для регуляризации нулевого порядка, т. е. когда  $q_1 = 0$ ,  $H$  — диагональная. При  $\alpha = 0$  выражения (4), (5) представляют исходную форму записи для решения уравнений по методу наименьших квадратов.

Трудным в этой схеме решения является вопрос о выборе величины  $\alpha$ . Следует сразу сказать, что ответ на этот вопрос в данной работе дается для асимптотики при  $\alpha \rightarrow 0$ . Далее примем следующий порядок изложения. Вначале, используя Фурье-образы, попытаемся рассмотреть регуляризацию на привычном для нас языке фильтров. Затем приведем оценки, полученные в [3]. Наконец, дадим наш прием выбора величины  $\alpha$  и изложим некоторые результаты его практического применения.

Запишем уравнение (4) в Фурье-образах:

$$[\alpha(\omega^2 + q) + L(-\omega)L(\omega)] \varphi_\alpha^F(\omega) = L(-\omega)F(\omega).$$

Регуляризованное решение можем представить в виде

$$\varphi_\alpha^F(\omega) = W(\omega)F(\omega), \quad (6)$$

где

$$W(\omega) = \frac{L(-\omega)}{|L(\omega)|^2 + \alpha(\omega^2 + q)}; \quad |L(\omega)|^2 = L(-\omega)L(\omega).$$

Для наглядности рассмотрим структурную схему (рис. 1). Здесь  $I$  — исходный, физически реализуемый фильтр ( $L$ ), который осуществляет прямое преобразование  $\varphi \rightarrow f$ ;  $II$  — фильтр ( $W$ ) осуществляет обратное преобразование  $f + \eta \rightarrow \varphi_\alpha^F$ . Преобразователь  $II$  физически не реализуем с помощью электронных устойчивых звеньев аналогового типа.

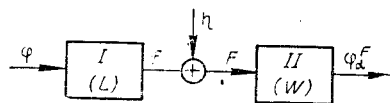


Рис. 1.

Причина тому — особенность метода наименьших квадратов, который требует применения фильтров вида  $L(-\omega)$ . Но эту сторону дела мы сейчас обсуждать не будем. Поскольку  $II$  — линейный фильтр, то его действие на сигналы  $f$  и  $\eta$  можно рассматривать порознь.

Положим  $\eta \equiv 0$ . Тогда вместо (6) можем записать

$$\varphi_\alpha^f(\omega) = V(\omega) \varphi(\omega), \quad (7)$$

где

$$V(\omega) = \frac{|L(\omega)|^2}{|L(\omega)|^2 + \alpha(\omega^2 + q)}, \quad \varphi(\omega) = \frac{f(\omega)}{L(\omega)}$$

точное решение. Как видим, регуляризованное  $\varphi_\alpha^f$  и точное  $\varphi$  решения являются соответственно выходным и входным сигналами фильтра  $V$ , который не изменяет спектра фаз сигнала  $\varphi$ , а в спектре амплитуд подавляет высокочастотные составляющие. Расплатой за то, что мы осмелились изменить оператор обратного преобразования ( $\alpha \neq 0$ ) является систематическая ошибка

$$\Delta\varphi_\alpha^f(\omega) = \varphi_\alpha^f(\omega) - \varphi(\omega) = -\varphi(\omega) \frac{\alpha(\omega^2 + q)}{|L(\omega)|^2 + \alpha(\omega^2 + q)}. \quad (8)$$

Ее норма  $\|\Phi^{-1}[\Delta\varphi_\alpha^f(\omega)]\|_{L_2}$ , т. е. средний квадрат ошибки, падает до нуля при  $\alpha \rightarrow 0$  и возрастает до  $\|\varphi\|_{L_2}$  при  $\alpha \rightarrow \infty$ . Здесь  $\Phi^{-1}$  — оператор обратного преобразования Фурье.

Теперь положим  $f \equiv 0$ , а спектральную плотность шума  $\eta$  обозначим через  $S(\omega)$ . Запишем выражение для дисперсии шума на выходе фильтра  $H$ :

$$\sigma_\alpha^2 = \frac{1}{2\pi} \int_{-\infty}^{\infty} \frac{|L(\omega)|^2 S(\omega) d\omega}{[|L(\omega)|^2 + \alpha(\omega^2 + q)]^2}. \quad (9)$$

Если порядок убывания функции  $S(\omega)$  при  $\omega \rightarrow \infty$  меньше порядка убывания  $[L(\omega)]^2$ , для которого мы приняли асимптотику вида  $\frac{A}{\omega^n}$ , то дисперсия регуляризованного решения неограниченно растет при  $\alpha \rightarrow 0$ . Оценки для систематической  $\Delta\varphi_\alpha^f$  и случайной  $\sigma_\alpha^2$  ошибок при  $\alpha \rightarrow 0$ ,  $S = \text{const}$  и  $\alpha q \approx 0$  даны в [3]:

$$\Delta\varphi_\alpha^f(t) = \frac{1}{n+1} \left[ \sin\left(\frac{\pi}{2n+2}\right) \right]^{-1} \frac{d\varphi}{dt} \left( \frac{\alpha}{A^2} \right)^{\frac{1}{2n+2}}, \quad (10)$$

$$\sigma_\alpha^2 = \frac{S}{4(n+1)^2} \left[ \sin\left(\frac{\pi}{2n+2}\right) \right]^{-1} \left( \frac{1}{A^2} \right)^{\frac{2n+1}{2n+2}} \left( \frac{1}{\alpha} \right)^{\frac{2n+1}{2n+2}}. \quad (11)$$

Там же из условия

$$\sup_t [\Delta\varphi_\alpha^f(t)]^2 = \sigma_\alpha^2 \quad (12)$$

находится почти оптимальное значение  $\alpha$ :

$$\alpha = A^{\frac{2}{2n+3}} \left[ \frac{S \sin\left(\frac{\pi}{2n+2}\right)}{4B^2} \right]^{\frac{2n+2}{2n+3}}, \quad (13)$$

где

$$B^2 = \sup_t \left| \frac{d\varphi}{dt} \right|^2.$$

Здесь уместно заметить, что условие (12) является приближенным выражением критерия

$$\min_\alpha \sup_t \{ M [\varphi_\alpha^f(t) - \varphi(t)]^2 \},$$

где  $M$  — математическое ожидание. Действительно, для некоррелированных  $\varphi$  и  $\eta$  этот критерий можем записать в виде

$$\min_{\alpha} \sup_t \{ [\Delta\varphi_{\alpha}^f(t)]^2 + \sigma_{\alpha}^2 \}.$$

Но для стационарного шума  $\sigma_{\alpha}^2$  не зависит от  $t$ . Следовательно, приближение состоит в том, что точка минимума суммы двух функций подменяется точкой их пересечения [см. (12)]. Если учесть свойство функций (10) и (11), то выражение для почти оптимального  $\alpha$  можно записать иначе. Из условия  $[\Delta\varphi_{\alpha}^f(t)]^2 = \sigma_{\alpha}^2$  найдем  $\alpha(t) > 0$ , а затем вычислим норму  $\inf[\alpha(t)]$ , т. е. из всех значений  $\alpha(t)$  примем наименьшее. Оно и обеспечит «наилучшее» восстановление тонкой структуры сигнала  $\varphi$ . В (12) можно применять и иные нормы; тогда получим другие выражения для  $\alpha$ , которые уже не будут совпадать с (13). Во всех этих случаях остается неясной связь почти оптимального  $\alpha$  с  $\alpha_0$ , которое минимизирует средний квадрат ошибки регуляризованного решения  $\varphi_{\alpha}^f(t)$ . Важно здесь и другое. Для того чтобы воспользоваться выражением (13), необходимо априори знать величину  $B$ , и это резко снижает его конструктивность. Сейчас мы изложим иной, конструктивный способ выбора  $\alpha$ . Запишем вначале функционал

$$\|M [\varphi_{\alpha}^f(t) - \varphi(t)]^2\|_{L_2(a,b)}. \quad (14)$$

Поскольку  $\varphi$  и  $\eta$  статистически независимы, то выражение (14) равносильно (15):

$$\int_a^b [(\Delta\varphi_{\alpha}^f)^2 + \sigma_{\alpha}^2] dt. \quad (15)$$

Из (15) видно, что ошибка регуляризованного решения нами рассматривается в  $L_2(a, b)$ . Значение  $\alpha$ , при котором достигает минимума функционал (15), назовем оптимальным в смысле средних квадратов и обозначим через  $\alpha_0$ .

Теперь рассмотрим такой функционал:

$$\|M \left\{ \Phi^{-1} \left[ \frac{\partial \varphi_{\alpha}^f(\omega)}{\partial \ln \alpha} \right] \right\}^2\|_{L_2(a,b)}, \quad (16)$$

где  $\frac{\partial \varphi_{\alpha}^f(\omega)}{\partial \ln \alpha} = Q_{\alpha}^f(\omega)$  — комплексная функция чувствительности регуляризованного решения в присутствии шума  $\eta$  к относительному изменению  $\alpha$ . Из условия дифференцируемости интеграла Фурье по параметру следует, что действительная функция чувствительности  $Q_{\alpha}^f(t)$  может быть получена из комплексной —  $Q_{\alpha}^f(\omega)$  обратным преобразованием Фурье. Для того чтобы параметр  $\alpha$ , найденный из условия минимума функционала (16), был оптимальным в смысле средних квадратов, достаточно показать, что минимум выражений (16) и (15) достигается при одном и том же  $\alpha$ . Мы изучим функционал (16) при тех же предположениях, при которых получены оценки (10), (11), а именно при асимптотике вида  $\alpha \rightarrow 0$ .

Положим  $\eta \equiv 0$  и запишем выражение для функции чувствительности

$$Q_{\alpha}^f(\omega) = \frac{\partial \varphi_{\alpha}^f(\omega)}{\partial \ln \alpha} = \varphi(\omega) \frac{\alpha(\omega^2 + q)}{|L(\omega)|^2 + \alpha(\omega^2 + q)} \frac{|L(\omega)|^2}{|L(\omega)|^2 + \alpha(\omega^2 + q)}. \quad (17)$$

Функция  $Q_{\alpha}^f(\omega)$  отличается от  $\Delta\varphi_{\alpha}^f(\omega)$  [см (8)] множителем, кото-

рый сильно меняет дело при больших значениях  $\alpha$ : норма  $\|\Phi^{-1}[Q'_\alpha \omega(L_2)]\|_{L_2}$  уменьшается до нуля не только при  $\alpha \rightarrow 0$ , но при  $\alpha \rightarrow \infty$ . Чтобы оценить ее поведение при  $\alpha$ , близком к нулю, выразим вначале  $Q'_\alpha$  через  $\Delta\varphi'_\alpha$ :

$$Q'_\alpha(\omega) = -\Delta\varphi'_\alpha(\omega) + \Delta\varphi'_\alpha(\omega) \frac{\alpha(\omega^2 + q)}{|L(\omega)|^2 + \alpha(\omega^2 + q)}. \quad (18)$$

Применяя оценку (10) ко второму слагаемому, из (18) получим

$$Q'_\alpha(t) = -\Delta\varphi'_\alpha(t) + \frac{1}{(n+1)^2} \left[ \sin\left(\frac{\pi}{2n+2}\right) \right]^{-2} \frac{d^2\varphi}{dt^2}\left(\frac{\alpha}{A^2}\right)^{\frac{1}{n+1}}. \quad (19)$$

Как видим, для сигналов  $\varphi$ , вторая производная которых ограничена, в асимптотике ( $\alpha \rightarrow 0$ ) второе слагаемое в выражении (19) имеет второй порядок малости по сравнению с  $\Delta\varphi'_\alpha(t)$ . Следовательно, можно утверждать, что для функций  $\varphi$  с ограниченной второй производной и для ядер с асимптотикой  $A/\omega^n$  функция чувствительности  $Q'_\alpha(t) = -\frac{\partial\varphi'_\alpha(t)}{\partial \ln \alpha}$  регуляризованного решения  $\varphi'_\alpha(t)$  уравнения (1) при  $\alpha \rightarrow 0$  совпадает с отклонением  $\varphi'_\alpha(t)$  от точного решения  $\varphi(t)$  и имеет вид

$$Q'_\alpha(t) = C_1 \frac{d\varphi}{dt} \alpha^{\frac{1}{2n+2}}, \quad (20)$$

где

$$C_1 = \frac{1}{n+1} \left[ \sin\left(\frac{\pi}{2n+2}\right) \right]^{-1} A^{-\frac{1}{n+1}}.$$

Далее положим  $f \equiv 0$  и запишем выражение для дисперсии на выходе преобразователя II:

$$\sigma_\alpha^2 = \frac{1}{2\pi} \int_{-\infty}^{\infty} S_\alpha(\omega) d\omega, \quad (21)$$

где

$$S_\alpha(\omega) = |W(\omega)|^2 S; S = \text{const}.$$

Функцию чувствительности для дисперсии регуляризованного решения представим так:

$$Q_\alpha^\sigma = -\frac{d\sigma_\alpha^2}{d \ln \alpha} = \frac{1}{\pi} \int_{-\infty}^{\infty} S_\alpha(\omega) \frac{\alpha(\omega^2 + q) d\omega}{|L(\omega)|^2 + \alpha(\omega^2 + q)}. \quad (22)$$

О поведении  $\sigma_\alpha^2$  при  $\alpha \rightarrow 0$  можно сделать заключение непосредственно из рассмотрения выражения для спектральной плотности  $S_\alpha(\omega)$ :  $S_\alpha(\omega) \rightarrow \infty$  при  $\alpha \rightarrow 0$ . Труднее сделать такое заключение для функции чувствительности, поскольку ее спектральная плотность [см. (22)] ведет себя более сложно: если  $\alpha \rightarrow 0$ , то  $S_\alpha(\omega)$  неограниченно возрастает, но второй сомножитель уменьшается до нуля. Но  $0 \cdot \infty$  мы уже знаем больше — оценку (11). Попытаемся получить оценку также и для функции чувствительности. Существенным допущением, которое здесь принимается, является замена ядра  $K$  (оператора  $L$ ) его асимптотикой  $A/\omega^n$ . Оправдание тому следующее. Интеграл (21) расходится при  $\alpha \rightarrow 0$ , но  $\int_{-\omega_1}^{\omega_1} S_{\alpha_1}(\omega) d\omega$  сходится при  $\alpha \rightarrow 0$  и остается ограни-

ченным для любого фиксированного  $\omega_1$ . Поэтому основной вклад в дисперсию дают частоты  $\omega > \omega_1$ . Но именно для высоких частот оправдана замена ядра его асимптотикой.

Представим (22) в виде

$$Q_\alpha^\sigma = -\frac{1}{\pi} \int_{-\infty}^{\infty} S_\alpha(\omega) d\omega + \frac{1}{\pi} \int_{-\infty}^{\infty} S_\alpha(\omega) \frac{|L(\omega)|^2 d\omega}{|L(\omega)|^2 + \alpha(\omega^2 + q)}. \quad (23)$$

Оценку для первого слагаемого мы знаем [см. (11)]:  $2\sigma$ , так что наша задача — найти оценку для второго слагаемого, которое обозначим  $\Delta\sigma$ . Подставив в (23) выражение для  $S_\alpha(\omega)$  и заменив  $L(\omega)$  на  $\frac{A}{\omega^n}$ , получим

$$\Delta\sigma = \frac{S}{\pi} \int_{-\infty}^{\infty} \frac{\frac{A^4}{\omega^{4n}} d\omega}{\left[\frac{A^2}{\omega^{2n}} + \alpha(\omega^2 + q)\right]^3} = \frac{2S}{\pi} \int_0^{\infty} \frac{A^{-2}\omega^{2n} d\omega}{[1 + A^{-2}\alpha\omega^{2n}(\omega^2 + q)]^3}.$$

Выполнив замену переменных  $X = A^{-2}\alpha\omega^{2n+2}$  при  $\alpha q \approx 0$ , можем записать

$$\Delta\sigma = \frac{S}{\pi(n+1)} A^{-\frac{1}{n+1}} \left(\frac{1}{\alpha}\right)^\mu \int_0^{\infty} \frac{x^{\mu-1} dx}{[1+x]^3}, \quad (24)$$

где  $\mu = \frac{2n+1}{2n+2}$ . Интеграл в (24) берется в общем виде

$$\int_0^{\infty} \frac{x^{\mu-1} dx}{[1+\beta x]^{r+1}} = (-1)^r \frac{\pi}{\beta} \binom{\mu-1}{r} \operatorname{cosec}(\mu\pi); \quad 0 < \mu < r+1.$$

Вычисляя его при  $\beta=1$ ,  $r=2$ , будем иметь

$$\Delta\sigma = 1 + \frac{1}{2n+2} \frac{S}{4(n+1)^2} \operatorname{cosec}\left(\frac{\pi}{2n+2}\right) A^{-\frac{1}{n+1}} \left(\frac{1}{\alpha}\right)^{\frac{2n+1}{2n+2}}.$$

Подставляя полученные значения в (23), находим, что

$$Q_\alpha^\sigma = \frac{2n+1}{2n+2} \sigma_\alpha^2. \quad (25)$$

Таким образом, справедливо утверждение: для ядер с асимптотикой  $\frac{A}{\omega^n}$  функция чувствительности  $Q_\alpha^\sigma$  дисперсии шума регуляризованного решения уравнения (1) при  $\alpha \rightarrow 0$  отличается от дисперсии  $\sigma_\alpha$  множителем  $\frac{2n+1}{2n+2}$  и имеет вид

$$Q_\alpha^\sigma = \frac{2n+1}{2n+2} C_2 S \left(\frac{1}{\alpha}\right)^{\frac{2n+1}{2n+2}}, \quad (26)$$

где

$$C_2 = \frac{1}{4(n+1)^2} \operatorname{cosec}\left(\frac{\pi}{2n+2}\right) A^{-\frac{1}{n+1}}.$$

Из (26), в частности, следует, что при  $S \rightarrow 0$  регуляризованное решение будет стремиться к точному, если  $\frac{S}{\alpha^{\frac{2n+1}{2n+2}}} \rightarrow 0$ . Но для этого порядок убывания  $S$  должен превосходить порядок убывания  $\alpha$ .

Далее попытаемся выразить параметр регуляризации, при котором достигает минимума функционал (16) или равносильное ему выражение

$$\int_a^b \left[ (\Delta \varphi_\alpha^f)^2 + \frac{2n+1}{2n+2} \sigma_\alpha^2 \right] dt, \quad (27)$$

через значение  $\alpha_0$ , оптимальное в смысле наименьших квадратов, т. е. через то значение параметра регуляризации, при котором достигает минимума выражение (15). Дифференцируя (27) по  $\alpha$ , получим

$$\frac{1}{n+1} C_3 \alpha^{-\frac{n}{n+1}} - \left( \frac{2n+1}{2n+2} \right)^2 C_4 \left( \frac{1}{\alpha} \right)^{-\frac{1}{2n+2}+2} = 0,$$

или

$$\frac{1}{n+1} C_3 \alpha^{\frac{2n+3}{2n+2}} - \left( \frac{2n+1}{2n+2} \right)^2 C_4 = 0, \quad (28)$$

где

$$C_3 = C_1^2 \int_a^b [\varphi'(t)]^2 dt; \quad C_4 = C_2 \int_a^b S dt.$$

Обозначим через  $\alpha_1$  то значение параметра регуляризации, при котором удовлетворяется уравнение (28). Поступая точно так же, из (15) получим

$$\frac{1}{n+1} C_3 \alpha^{\frac{2n+3}{2n+2}} - \frac{2n+1}{2n+2} C_4 = 0. \quad (29)$$

Из (28) и (29) находим

$$\alpha_1^{\frac{2n+3}{2n+2}} = \frac{2n+1}{2n+2} \alpha_0^{\frac{2n+3}{2n+2}}$$

или

$$\alpha_1 = \left( \frac{2n+1}{2n+2} \right)^{\frac{2n+2}{2n+3}} \alpha_0. \quad (30)$$

Следовательно, можно утверждать, что при  $\alpha \rightarrow 0$  параметр регуляризации  $\alpha_1$ , выбранный из условия минимума функционала  $\left\| M \left[ \frac{\partial \varphi_\alpha^F(t)}{\partial \ln \alpha} \right]^2 \right\|_{L_1(a,b)}$ ,

отличается множителем  $\left( \frac{2n+1}{2n+2} \right)^{\frac{2n+2}{2n+3}}$  от оптимального —  $\alpha_0$ , полученного при минимизации функционала  $\| M [\varphi_\alpha^F(t) - \varphi(t)]^2 \|_{L_1(a,b)}$ , где  $\varphi_\alpha^F$  и  $\varphi$  — соответственно регуляризованное и точное решение уравнения (1), ядро которого имеет асимптотику  $A/\omega^n$ ;  $M$  — математическое ожидание.

Полезно иметь в виду, что современные преобразователи охватываются глубокой отрицательной обратной связью с целью стабилизации их режима работы и имеют коэффициент усиления более 1, а условие устойчивости в малом для систем с обратной связью накладывают известные ограничения на их асимптотику при  $\omega \rightarrow \infty$ . Точнее говоря, спад частотной характеристики не может быть слишком быстрым [5]. Поэтому в практических задачах  $n$  обычно невелико ( $n \sim 1, 2$ ). Невелико и различие между  $\alpha_1$  и  $\alpha_0$ . Переходя к практической стороне дела, нам следует учесть некоторые моменты, которые несколько меняют соотношения, записанные выше. В первую очередь это относится к функцио-



налам (15) и (16). Часто для вычислений задается одна реализация сигнала  $F$  и при этом принимается гипотеза об эргодичности процесса  $\eta$ . Тогда вместо (15) и (16) можем записать соответственно:

$$\min_{\alpha} \|\varphi_{\alpha}^F(t) - \varphi(t)\|_{L_1}; \quad (31)$$

$$\min_{\alpha} \left\| \Phi^{-1} \left[ \frac{\partial \varphi_{\alpha}^F(\omega)}{\partial \ln \alpha} \right] \right\|_{L_2} \quad (32)$$

(см. также [1]). При этом изменяются величины  $\alpha_1$  и  $\alpha_0$ , для которых сохраним прежние обозначения. Важно, что все утверждения, сделанные выше, остаются в силе.

Второй момент связан с функцией чувствительности для дисперсии. Поскольку при вычислениях исходные данные помещаются в конечномерное пространство, то при  $\alpha \rightarrow 0$   $\sigma_2^2$  остается ограниченной и  $\frac{\partial \sigma_2^2}{\partial \ln \alpha} \rightarrow 0$ .

Но в реальных задачах шум не бывает столь малым, чтобы приходилось иметь дело с  $\alpha$  весьма близким к нулю. А оценка для ошибки за счет шума, полученная при  $\alpha \rightarrow 0$ , близка к верхней оценке для той же ошибки, полученной при произвольном  $\alpha$  [2]. Так что для гладких функций  $\varphi$  с этим моментом можно не считаться. Подтверждают это и многочисленные вычислительные эксперименты.

Для функции  $\varphi$  нулевого порядка гладкости, например для единичного скачка, следовало бы провести дополнительное изучение, поскольку  $\frac{d\varphi}{dt} = 0$  при  $t > 0$  и выражения (28), (29) вырождаются. Здесь этого делать не будем. Отложим также исследование при асимптотике ядерного вида, чем  $A/\omega^n$ , которые встречаются при восстановлении сигналов в оптических преобразователях, длинных линиях и др.

В качестве иллюстрации изложенного выше приведем примеры некоторых численных экспериментов. Вычисления проводилось одновременно по критериям (31) и (32) при изменении параметра регуляризации по закону  $\alpha = 2^m \alpha_n$ , где  $m = 0, 1, 2, \dots$ ;  $\alpha_n$  — начальное значение. Псевдослучайный шум с равномерным распределением, который добавлялся к сигналу  $f$ , задавался от максимального значения  $f_{\max}$  соответственно  $\pm(0,5; 1; 2; 4; 10)\%$ . Во всех случаях к ядру  $K$  добавлялся шум с амплитудой  $\pm 1\%$  от  $K_{\max}$ . В экспериментах исходные данные задавались в сорока точках с шагом 0,1. Результаты вычислений для входного сигнала  $\varphi = te^{-t}$  и ядра  $K =$

$\begin{cases} 1; & t > 0 \\ 0; & t < 0 \end{cases}$  (асимптотика  $\frac{1}{\omega}$ ) приведены на рис. 2, а для  $\varphi = \sin \frac{2\pi}{T}t$ ,  $0 \geq t \geq \frac{T}{2}$  и  $K = \frac{t}{T} e^{-\pi t/T}$  (асимпто-

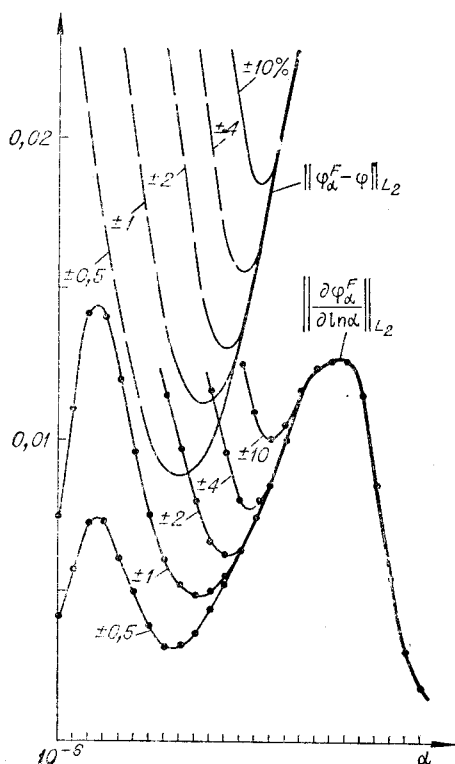


Рис. 2.

тика  $\frac{1}{\omega^2}$ ) — на рис. 3. Сплошные линии соответствуют критерию, основанному на вычислении функции чувствительности регуляризованного решения, штриховые — критерию минимальной среднеквадратической ошибки.

С использованием изложенного здесь критерия нами разработан ряд программ для вычисления решения уравнений типа (1), в которых автоматически определяется  $\alpha_1$  или  $\alpha_0$ . Эти программы с автоматическим поиском оптимального параметра регуляризации проверялись в работе на большом числе модельных экспериментов и пока не давали осечки. Они также использовались для решения ряда практических задач. Проводились эксперименты и с мультипликативным шумом, а также статистические исследования с целью выявления смещения минимума функционалов (31) и (32) при большом числе разных реализаций шума и различных значениях его амплитуд. Здесь нет возможности сколько-нибудь полно отразить этот эмпирический материал. Результаты его анализа, как и изложенное выше, подтверждают практическую целесообразность применения критерия, основанного на свойствах функции чувствительности регуляризованного решения к параметру регуляризации, а также его надежность в работе и близость к критерию, основанному на минимизации среднего квадрата ошибки.

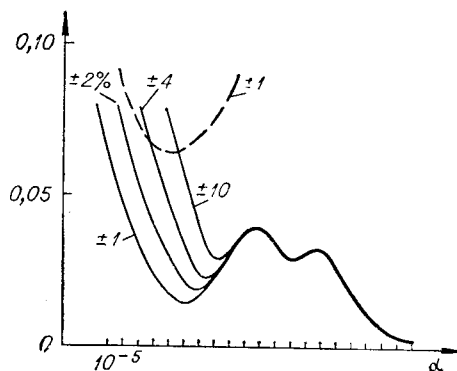


Рис. 3.

#### ЛИТЕРАТУРА

1. А. Н. Тихонов, Б. В. Гласко. Применение метода регуляризации в нелинейных задачах.— Журнал вычислительной математики и математической физики, 1965, № 3.
2. В. А. Морозов. О принципе невязки при решении операторных уравнений методом регуляризации.— Журнал вычислительной математики и математической физики, 1968, № 2.
3. В. Я. Арсенин, В. В. Иванов. О решении некоторых интегральных уравнений первого рода типа свертки методом регуляризации.— Журнал вычислительной математики и математической физики, 1968, № 2.
4. А. Н. Тихонов. О решении некорректно поставленных задач и методе регуляризации.— Докл. АН СССР, 1963, т. 151, № 3.
5. Г. Боде. Теория цепей и проектирование усилителей с обратной связью. М., Изд-во иностр. лит., 1948.

Поступила в редакцию 20 сентября 1972 г.